

Траектории радиальной изображающей точки для случаев $\varepsilon = 0$ и $\varepsilon \neq 0$.

устойчивости на плоскости A , G . Поскольку фазовое отклонение частицы $\Delta\varphi = \varphi - \varphi_s$ колеблется в пределах от $-\Delta\varphi_m$ до $+\Delta\varphi_m$, изображающая точка попадет в зону устойчивости, если $\cos \mu \in [-1, 1]$.

радиальных колебаний A_ρ , G_ρ совершает колебательное движение по дуге эллипса, который описывается в параметрической форме уравнениями (3).

Радиальная устойчивость частиц сохраняется до тех пор, пока изображающая точка не выйдет за пределы области устойчивости, которая на рисунке ограничена линиями $\cos \mu = 1$ и $\cos \mu = -1$. В случае $\varepsilon = 0$ эта точка движется по дуге эллипса, оси которого совпадают с осями координат (дуга MN). Поэтому изображающая точка приближается к границе устойчивости $\cos \mu = 1$ кратчайшим путем. Введение модуляции амплитуды поля $\varepsilon \neq 0$ позволяет повернуть оси эллипса относительно осей координат и тем самым заметно отодвинуть точку пересечения траектории с границей устойчивости (дуга CD). Таким образом, удается увеличить допустимые размахи фазовых колебаний и фазовый захват ускорителя до значений, которые обычно бывают при автофазировке. Однако расход ВЧ-мощности, которая при асимметричной фазопеременной фокусировке расходуется на создание как ускоряющего, так и фокусирующего поля, оказывается заметно выше, чем при автофазировке.

(№ 688/7179. Поступила в Редакцию 29/XI 1972 г. Полный текст 0,4 а. л., 2 рис., 9 библиографических ссылок.)

Концентрирование радиоактивного шлама гидроокиси железа и регенерационных растворов методом совместного выпаривания

ТРОФИМОВ Д. И., БАРАБАНОВ А. И.

УДК 66.049.1

До последнего времени [1] концентрирование радиоактивных отходов — гидроокисного шлама $\text{Fe}(\text{OH})_3$ и регенерационных растворов, образующихся при дезактивации стоков, — осуществлялось методами центрифugирования и выпаривания. При центрифугировании нельзя получить осадок влажностью менее 90%, что приводит к значительным затратам при захоронении. Выпаривание регенерационных растворов сопровождается сильным всепениванием, максимальный коэффициент сокращения объема достигает 10–12.

Экспериментально установлено [2], что при смешивании гидроокисного шлама и регенерационных растворов коэффициент выпаривания повышается до 25. При этом значительно снижается пенообразование по сравнению с выпариванием только регенерата и полностью отпадает проблема разрушения пены. Для совместного выпаривания используются обычные аппараты, например, с высеченной греющей камерой. Процесс выпаривания протекает спокойно, без выбросов и толчков. Прилипания частиц мицеллы $\text{Fe}(\text{OH})_3$ к греющей поверхности аппарата не наблюдается.

При смешивании гидроокисного осадка с регенерационным раствором, содержащим в основном NaNO_3 , по всей вероятности, происходит процесс замещения ионов воды адсорбционного слоя осадка на ионы Na^+ и NO_3^- , т. е. протекает процесс высаливания. При совместном выпаривании коэффициент теплопередачи K выше на 20–25% по сравнению с выпариванием только регенерата. Коэффициент теплопередачи возрастает за счет добавления в раствор осадка гидроокиси железа, обладающего повышенной теплопроводностью. Полученный конденсат по содержанию радиоактивных изотопов не превышает норм сброса в открытый водоем.

В таблице приведены результаты исследований совместного выпаривания шлама гидроокиси железа и регенерационных растворов.

Результаты исследований совместного выпаривания шлама $\text{Fe}(\text{OH})_3$ и регенерационных растворов

Характеристика процесса	Выпаривание регенерата	Смесь регенерата с гидроокисным шламом (1 : 1)
Температура кипения, °C	114–116	115–117
Коэффициент выпаривания	11–12	24–26
Удельный теплосъем, кг исп. вл./м ² ·ч	40–50	60–70
Кубовый остаток		
концентрация солей, г/дм ³	800–850	950–1000
плотность, г/см ³	1,30–1,40	1,50–1,60
суммарная β -активность, кюри/кг	$(2 \div 4) \cdot 10^{-4}$	$(3 \div 5) \cdot 10^{-4}$

На основании проведенных исследований и внедрения этой схемы в производство показано, что раздельное концентрирование гидроокиси шлама и регенерационного раствора позволяет сократить объем отходов только в 250 раз, в то время как при совместном их

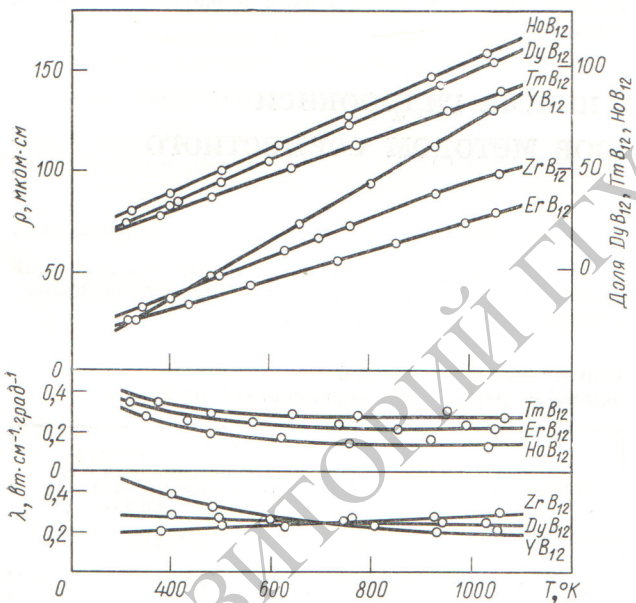
выпаривания коэффициент концентрирования увеличивается до 500. Это значительно снижает стоимость переработки радиоактивных сбросных растворов.

(№ 689/7245. Статья поступила в Редакцию 15/I 1973 г., аннотация — 28/III 1973 г. Полный текст 0,4 а. л., 2 рис., 2 табл., 5 библиографических ссылок.)

Теплопроводность додекаборидов металлов со структурой UB_{12}

ОДИНЦОВ В. В., ЛЕСНАЯ М. И., ЛЬВОВ С. Н.

Додекабориды благодаря высокому содержанию бора и наличию в них редкоземельных элементов могут быть использованы в ядерной энергетике. Такие материалы наряду с другими свойствами должны обладать достаточно высокой теплопроводностью.



Температурная зависимость удельного электросопротивления и коэффициента теплопроводности додекаборидов металлов.

В настоящей работе исследовалась температурная зависимость электросопротивления и коэффициента теплопроводности ряда додекаборидов (YB_{12} , ZrB_{12} , DyB_{12} , HoB_{12} , ErB_{12} , TmB_{12}) в области температур 300–1000° К. Додекабориды получались методом восстановления окислов металлов бором в вакууме, по данным рентгенофазового и металлографического анализа они представляли собой однофазные материалы [1].

Л И Т Е Р А Т У РА

1. Трофимов Д. И. и др. Симп. МАГАТЭ по переработке радиоактивных отходов низкого и среднего уровня активности (Вена, 1965). Вена, МАГАТЭ, 1966, с. 449.
2. Барабанов А. И., Жигулева Е. И. «Бюлл. изобрет.», 1973, № 32.

УДК 536.21:546.271

На основании полученных результатов (см. рисунок) были сделаны следующие выводы: температурная зависимость удельного электросопротивления всех изученных фаз линейна; коэффициент теплопроводности с повышением температуры убывает и при достаточно высоких температурах принимает постоянное значение.

Высокую теплопроводность додекаборидов металлов со структурой типа UB_{12} по сравнению с металлами можно объяснить особенностью структуры этих соединений и сильными ковалентными связями между атомами бора [2–4]. Наличие достаточно жесткой решетки является, по-видимому, основной причиной повышения теплопроводности додекаборидов: во-первых, увеличивается доля фононной составляющей теплопроводности; во-вторых, снижается расстояние электронов проводимости, что приводит к увеличению электронной доли теплопроводности.

Для додекаборидов металлов закон Видемана — Франца остается в силе, однако значение функции Лоренца для них отлично от теоретического.

(№ 690/7250. Статья поступила в Редакцию 23/I 1973 г., аннотация — 10/V 1973 г. Полный текст 0,3 а. л., 2 рис., 7 библиографических ссылок.)

Л И Т Е Р А Т У РА

1. Падерно Ю. Б., Однцов В. В. Металлотермические процессы в химии и металлургии. Новосибирск, «Наука», 1971, с. 39.
2. Горячев Ю. М., Однцов В. В., Падерно Ю. Б. Металлофизика. Киев, «Наукова думка», 1971, вып. 37, с. 29.
3. Однцов В. В. и др. «Теплофизика высоких температур», 1971, т. 2, с. 216.
4. Юхименко Е. В. и др. «Порошковая металлургия», 1971, № 11, с. 52.